

УДК 535.345.6+535.417

## ПОВЫШЕНИЕ ПРОЗРАЧНОСТИ УЗКОПОЛОСНОГО СВЕТОФИЛЬТРА ТИПА ФАБРИ—ПЕРО

Г. П. Конюхов и Е. А. Несмелов

Рассмотрен метод повышения прозрачности светофильтров типа Фабри—Перо с равнослоистыми и разнослоистыми диэлектрическими зеркалами. Метод основан на сдвиге спектральной кривой одного из них в длинноволновую или коротковолновую область спектра; определяются толщины слоев «сдвигаемого» зеркала и толщина резонаторного слоя, близкого к полуволновому. Приведены расчетные спектральные кривые полос прозрачности и зависимости толщин слоев от показателя преломления подложки и вещества слоя.

Интерференционные диэлектрические узкополосные светофильтры типа Фабри—Перо не имеют высокой прозрачности в инфракрасной области спектра, когда в качестве подложек используются материалы с высоким показателем преломления (германий, кремний). Это связано с тем, что предельная прозрачность в максимуме полосы прозрачности светофильтра, наносимого на высокопреломляющую полубесконечную подложку, равна невысокой теоретической прозрачности подложки [1], а ошибки в слоях, допускаемые при изготовлении светофильтра [2], еще более снижают эту прозрачность.

Экспериментально замечено [3], что при контроле по различным (хотя и близким) длиnam волн двух половин изготавливаемого светофильтра прозрачность в центре полосы пропускания иногда получается несколько большей, чем теоретическая прозрачность подложки. В этом случае небольшой эффект просветления имеет место, видимо, вследствие сдвига по спектру одного из диэлектрических зеркал.

В настоящей работе будет показано, как можно получить полную или заданную прозрачность в максимуме полосы пропускания светофильтра, не нанося на подложку просветляющего покрытия, а выбрав определенным образом толщины и число слоев одного из диэлектрических зеркал и толщину резонирующего слоя.

Обратная сторона реальной высокопреломляющей подложки может быть просвѣтлена, например, симметричным покрытием, рассчитанным и осуществленным в работе [4].

1. Рассмотрим узкополосный светофильтр типа Фабри—Перо с диэлектрическими зеркалами и представим его структуру в операторном виде

$$D_0(g_1 H g_1 L)^{m_1} g_s H_s (g_2 L g_2 H)^{m_2} D, \quad (1)$$

где первое диэлектрическое зеркало слойности  $2m_1$  граничит со средой  $D_0$ , показатель преломления которой  $n_0$ , второе диэлектрическое зеркало слойности  $2m_2$  лежит на подложке  $D$  с показателем преломления  $n_D$ . Толщины слоев (в долях  $\lambda/4$ ) первого зеркала —  $g_1$ , второго зеркала —  $g_2$ , толщина резонаторного слоя —  $g_s$ ;  $H$ ,  $L$  и  $H_s$  — слои с показателями преломления  $n_H$ ,  $n_L$  и  $n_{H_s}$ .

Выражение для коэффициента прозрачности  $T(\varphi)$  может быть записано, например, в виде [5]

$$T(\varphi) = 4n_0 n_D [(n_0 L_{11} + n_D L_{22})^2 + (L_{21} + n_0 n_D L_{12})^2]^{-1}, \quad (2)$$

а элементы матрицы интерференции  $L_{11}$ ,  $L_{22}$ ,  $iL_{12}$ ,  $iL_{21}$  фильтра структуры (1) нетрудно найти из матричного соотношения

$$\begin{pmatrix} L_{11} & iL_{12} \\ iL_{21} & L_{22} \end{pmatrix} = \begin{pmatrix} M_{11}^I & iM_{12}^I \\ iM_{21}^I & M_{22}^I \end{pmatrix} \begin{pmatrix} \cos g_s \varphi & \frac{i}{n_s} \sin g_s \varphi \\ i n_s \sin g_s \varphi & \cos g_s \varphi \end{pmatrix} \begin{pmatrix} M_{11}^{II} & iM_{12}^{II} \\ iM_{21}^{II} & M_{22}^{II} \end{pmatrix}. \quad (3)$$

Запишем  $M_{11}$ ,  $M_{22}$ ,  $iM_{12}$ ,  $iM_{21}$  — элементы матрицы интерференции диэлектрического зеркала ( $gHgL$ )<sup>[5]</sup>

$$\left. \begin{aligned} M_{11} &= \operatorname{ch} m\psi + \frac{\operatorname{sh} m\psi}{\operatorname{sh} \psi} \frac{s_{11} - s_{22}}{2}, \\ M_{22} &= \operatorname{ch} m\psi - \frac{\operatorname{sh} m\psi}{\operatorname{sh} \psi} \frac{s_{11} - s_{22}}{2}, \\ M_{12} &= s_{12} \frac{\operatorname{sh} m\psi}{\operatorname{sh} \psi}, \quad M_{21} = s_{21} \frac{\operatorname{sh} m\psi}{\operatorname{sh} \psi}, \end{aligned} \right\} \quad (4)$$

$s_{11}$ ,  $s_{22}$ ,  $is_{12}$ ,  $is_{21}$  — элементы матрицы интерференции двухслойника ( $gHgL$ )

$$\left. \begin{aligned} s_{11} &= \cos^2 g\varphi - \frac{n_L}{n_H} \sin^2 g\varphi, \quad s_{22} = \cos^2 g\varphi - \frac{n_H}{n_L} \sin^2 g\varphi, \\ s_{21} &= n_H n_L s_{12} = \sin g\varphi \cos g\varphi (n_H + n_L), \\ \operatorname{ch} \psi &= (s_{11} + s_{22})/2, \quad \varphi = \frac{\pi \lambda_0}{2 \lambda}. \end{aligned} \right\} \quad (5)$$

Теперь для первого и второго диэлектрических зеркал можем записать

$$\left. \begin{aligned} M_{ij}^I &= M_{ij}(g_1, m_1), \\ M_{ij}^{II} &= M_{ij}(g_2, m_2), \quad i, j = 1, 2. \end{aligned} \right\} \quad (7)$$

При нормальном падении излучения для тонкослойной системы любой структуры требование полного просветления при некотором  $\varphi$  удовлетворяется решением системы трансцендентных уравнений [4]

$$\left. \begin{aligned} n_0 L_{11} - n_D L_{22} &= 0, \\ L_{21} - n_0 n_D L_{12} &= 0. \end{aligned} \right\} \quad (8)$$

Система уравнений получена подстановкой условия

$$T(\varphi) = 1 \quad (9)$$

в (2) при учете равенства  $L_{11}L_{22} + L_{12}L_{21} = 1$ . Решение системы уравнений (8) относительно любой пары свободных (варьируемых) параметров и обеспечивает нам выполнение условия (9).

Если в некоторых случаях [4] удается получить решение системы в явном виде, то в других случаях [5] из-за сложности системы уравнений мы вынуждены применять численные методы.

2. В рассматриваемом в настоящей работе случае узкополосного светофильтра типа Фабри—Перо мы хотим иметь полную прозрачность в максимуме полосы прозрачности, т. е.

$$T(\pi/2) = 1.$$

Будем решать систему (8) относительно двух неизвестных параметров  $g_s$  и  $g_1$  (ниже будет показано, почему в качестве второго параметра выбрана толщина слоев первого зеркала  $g_1$ ).

Уравнения (8) можно преобразовать и представить в виде более удобном для анализа (хотя и более громоздком)

$$\left. \begin{aligned} \operatorname{tg} g_s \varphi &= \frac{n_0 (M_{11}^I M_{22}^{II} - M_{12}^I M_{21}^{II}) - n_D (M_{11}^{II} M_{22}^I - M_{12}^{II} M_{21}^I)}{n_0 (n_s M_{12}^I M_{22}^{II} + M_{11}^I M_{21}^{II}/n_s) - n_D (n_s M_{12}^{II} M_{22}^I + M_{11}^{II} M_{21}^I/n_s)}, \\ \operatorname{tg} g_s \varphi &= \frac{M_{21}^I M_{22}^{II} + M_{22}^I M_{21}^{II} - n_0 n_D (M_{11}^I M_{12}^{II} + M_{12}^I M_{11}^{II})}{M_{21}^I M_{22}^{II}/n_s - n_s M_{22}^I M_{21}^{II} + n_0 n_D (M_{11}^I M_{12}^{II}/n_s - n_s M_{12}^I M_{21}^{II})}. \end{aligned} \right\} \quad (10)$$

Благодаря тому что левые части уравнений (10) совпадают, мы можем исключить параметр  $g_s$  и свести решение системы уравнений к решению одного уравнения. После некоторых преобразований это уравнение при  $\varphi = \pi/2$  может быть записано в такой форме [1]

$$T_s^I\left(\frac{\pi}{2}\right) = T_s^{II}\left(\frac{\pi}{2}\right), \quad (11)$$

где  $T_s^I$  и  $T_s^{II}$  — прозрачности первого и второго зеркал

$$\left. \begin{aligned} T_s^I(\varphi) &= \frac{4n_0 n_s}{(n_0 M_{11}^I + n_s M_{22}^I)^2 + (M_{21}^I + n_0 n_s M_{12}^I)^2}, \\ T_s^{II}(\varphi) &= \frac{4n_D n_s}{(n_D M_{11}^{II} + n_s M_{22}^{II})^2 + (M_{21}^{II} + n_D n_s M_{12}^{II})^2}. \end{aligned} \right\} \quad (12)$$

Вопрос о выборе искомого параметра ( $g_1$  или  $g_2$ ) при решении (11) разрешается следующим образом. Значение  $T_s^I(\pi/2)$  и  $T_s^{II}(\pi/2)$  системы (1) при  $g_1 = g_2 = 1$  легко вычисляется по формулам (12) [6]

$$\left. \begin{aligned} T_s^I(\pi/2) &= 1/\text{ch}^2 Q_1, \\ T_s^{II}(\pi/2) &= 1/\text{ch}^2 Q_2, \end{aligned} \right\} \quad (13)$$

где  $Q_1 = \ln\left(q^{m_1} \sqrt{\frac{n_s}{n_0}}\right)$ ,  $Q_2 = \ln\left(q^{m_2} \sqrt{\frac{n_s}{n_D}}\right)$  и  $q = n_H/n_L$ .

При  $n_D > n_0$  и  $m_1 = m_2$  мы будем иметь  $T_s^I(\pi/2) < T_s^{II}(\pi/2)$ , а это означает, что для достижения равенства (11) необходимо «сдвинуть» спектральную кривую первого зеркала относительно спектральной кривой второго четвертьволнового зеркала. Сдвиг спектральной кривой можно осуществить как в длинноволновую область спектра ( $g_1^k > 1$ ), так и в коротковолновую ( $g_1^k < 1$ ), т. е. мы можем получить два решения уравнения (11). Имея  $g_1^k$  и  $g_2^k$ , по любой из формул (10) можно вычислить и соответствующие значения  $g_s^k$  и  $g_s^k$ .

Однако достаточно получить одно решение (например,  $g_1^k < 1$  и  $g_2^k > 2$ ), как второе решение (противоположный сдвиг) легко получается из первого  $g_1^k = 2 - g_1^k$  и  $g_2^k = 2(l+1) - g_2^k$  ( $l$  — порядок системы [5]).

3. Эффект полной прозрачности можно получить и не сдвигая спектральную кривую одного из зеркал. Действительно, положив  $g_1 = g_2 = 1$ ,  $g_s = 2l$  и  $m_1 \neq m_2$ , мы можем удовлетворить условию (11) при  $Q_1 = Q_2$  или

$$q^{m_1 - m_2} = \sqrt{\frac{n_0}{n_D}}. \quad (14)$$

Если  $n_D > n_0$  и  $q > 1$ , то для выполнения равенства нужно, чтобы  $n_1 - m_2 < 0$ , т. е. слойность первого зеркала должна быть меньше слойности второго зеркала. Наоборот, для  $q < 1$  слойность второго зеркала будет меньше слойности первого зеркала.

Пусть число четвертьволновых слоев первого зеркала на два меньше числа слоев второго зеркала, т. е.  $m_1 = m_2 - 1$ , тогда из (14) получим условие, аналогичное условию полного просветления четвертьволновым двухслойником [7]

$$n_D = n_0 q^2 = n_0 \left(\frac{n_H}{n_L}\right)^2. \quad (15)$$

Формула (14) дает простую связь между  $n_D$ ,  $n_H$ ,  $n_L$ , а также  $m_1$  и  $m_2$ , которую весьма интересно знать при выборе узкополосной системы. Например, имея подложку с показателем преломления  $n_D$ , мы можем всегда подобрать из существующих такую пару веществ с показателями преломления  $n_H$  и  $n_L$ , которая дает нам  $T(\pi/2) > 90\%$ .

Можно привести простую формулу для оценки максимума полосы прозрачности, полученную из (2) при  $g_1 = g_2 = 1$ ,  $g_s = 2$ ,  $n_s = n_H$  и  $\varphi = \pi/2$

$$T = \frac{4n_0n_D}{(n_0q^{-(m_1-m_2)} + n_Dq^{m_1-m_2})^2}. \quad (16)$$

Если при выбранных  $q$ ,  $n_D$  и  $m_1 - m_2$  считать, что по (16) получено недостаточно высокое пропускание, тогда можно воспользоваться вышеизложенным методом сдвига одного из зеркал, нахождения соответствующего  $g_s$  и получить  $T(\pi/2) = 1$ .

Несложные вычисления по (16) показывают, что для пары веществ ZnS ( $n_H = 2.2$ ) и MgF<sub>2</sub> ( $n_L = 1.4$ ) при  $m_1 - m_2 = -1$  полная прозрачность в максимуме полосы пропускания будет для подложки с  $n_D = 2.46$ . При всех  $n_D > 1.6$  прозрачность  $T(\pi/2)$  будет больше теоретической прозрачности подложки, причем для  $n_D = 4.0$  значение  $T(\pi/2) = 94\%$ .

4. В результате реализации системы с толщинами (например,  $g_1^*$  и  $g_s^*$ ), являющимися решением системы уравнений (8), мы имеем возможность получать полную прозрачность в максимуме полосы пропускания светофильтра. Кроме того, можно получить определенную заданную прозрачность  $T_{зад.}$ , несколько видоизменив систему уравнений (8).

Задаваясь некоторыми параметрами  $\varepsilon_1$  и  $\varepsilon_2$ , запишем систему уравнений [аналогичную (8)] в следующем виде:

$$\left. \begin{aligned} n_0L_{11} - n_DL_{22} &= \pm 2\sqrt{\varepsilon_1n_0n_D}, \\ L_{21} - n_0n_DL_{12} &= \pm 2\sqrt{\varepsilon_2n_0n_D}. \end{aligned} \right\} \quad (17)$$

Для  $T(\varphi) = T_{зад.}$  выражение (2) с учетом (17) примет вид

$$T_{зад.} = (\varepsilon_1 + \varepsilon_2 + 1)^{-1}. \quad (18)$$

Предположение о положительности  $\varepsilon_1$  и  $\varepsilon_2$  (17) и полученная связь между ними (18) говорят, что при

$$\varepsilon_2 = \frac{1}{T_{зад.}} - 1 - \varepsilon_1$$

значение выбираемого параметра  $\varepsilon_1$  не должно превосходить величины  $(1 - T_{зад.})/T_{зад.}$ .

Следует отметить, что смысл имеют все четыре пары уравнений (17) и выбор пары зависит от исследуемой (вообще говоря, произвольной) тонкослойной системы.

В нашем случае [системы структуры (1)] выбор  $\varepsilon_1$  из интервала  $[0 \div (1 - T_{зад.})/T_{зад.}]$  дает возможность проследить, например, за формой полосы пропускания (полушириной, симметричностью), а также выбрать наиболее подходящие для реализации толщины слоев.

Расчеты проведены нами только для случая полной ( $\varepsilon_1 = \varepsilon_2 = 0$ ) прозрачности в полосе пропускания.

### Результаты расчета

Алгоритм нахождения  $g_1$  и  $g_s$  был записан нами на языке АЛГОЛ, с помощью транслятора ТА-1М составлена программа для машины БЭСМ-4 и проведен ряд расчетов [8].

При расчетах всюду бралось  $n_s = n_H$ .

На рис. 1 изображены расчетные спектральные кривые полос прозрачности систем вида (1) с зеркалами слойности  $2m$  ( $m = m_1 = m_2 = 4$ ), составленных из веществ ZnS ( $n_H = 2.2$ ) и MgF<sub>2</sub> ( $n_L = 1.4$ ) и нанесенных на германиевую подложку ( $n_D = 4.0$ ). Полоса прозрачности системы с четвертьволновыми ( $g_1 = g_2 = 1$ ) зеркалами и полуволновым ( $g_s = 2$ ) средним слоем (кривая I) имеет максимум, равный 64%, и относительную

полуширину, равную 0.016. При сдвиге первого зеркала в коротковолновую область спектра вид полосы прозрачности представлен кривой 2 ( $g_1^k = -0.8495$ ,  $g_s^k = 2.3159$ ,  $g_2 = 1$ ), при сдвиге первого зеркала в длинноволновую область спектра — кривой 3 ( $g_1^k = 2 - g_1^k$ ;  $g_s^k = 4 - g_s^k$ ;  $g_2 = 1$ ). Кри-

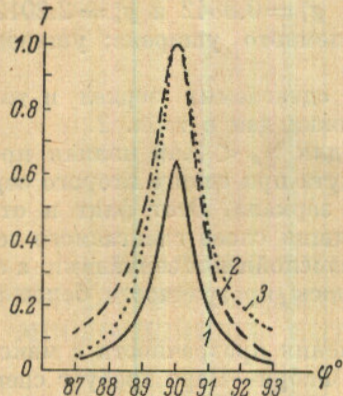


Рис. 1. Вид полос прозрачности 17-слойного узкополосного светофильтра с  $n_H = n_s = 2.2$ ,  $n_L = 1.4$  и  $n_D = 4.0$ .  
1 —  $g_1 = g_2 = 1$ ,  $g_s = 2.0$ ; 2 —  $g_1^k = -0.8495$ ,  $g_2 = 1$ ,  $g_s^k = 2.3159$ ; 3 —  $g_1^k = 1.1505$ ,  $g_2 = 1$ ,  $g_s^k = 1.6841$ .

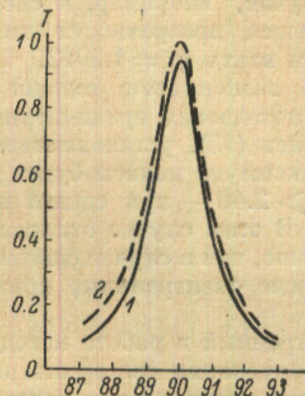


Рис. 2. Вид полос прозрачности узкополосного светофильтра с  $m_1 = 3$ ,  $m_2 = 4$ ,  $n_H = n_s = 2.2$ ,  $n_L = 1.4$  и  $n_D = 4.0$ .  
1 —  $g_1 = g_2 = 1$ ,  $g_s = 2$ ; 2 —  $g_1^k = -0.8842$ ,  $g_s^k = 2.2012$ ,  $g_2 = 1$ .

вые 2 и 3 несколько асимметричны, максимум прозрачности равняется единице. Относительная полуширина равна 0.019. Однако увеличив при сдвинутом первом зеркале толщину среднего слоя на полуволновый слой, мы сможем уменьшить асимметрию полосы прозрачности и до 0.016 относительную полуширину.

Таблица 1

Зависимость  $g_1^k$  и  $g_s^k$  от  $n_H$   
а)  $n_D = 4.0$  (германий),  $m = 4$ ,  
 $n_L = 1.4$   
б)  $n_D = 3.5$  (кремний),  $m = 4$ ,  
 $n_L = 1.4$

а б

$n_H$	$g_1^k$	$g_s^k$	$n_H$	$g_1^k$	$g_s^k$
2.2	0.8495	2.3158	2.2	0.8562	2.2948
2.4	0.8394	2.2208	2.6	0.8466	2.2071
3.0	0.8295	2.1718	3.0	0.8371	2.1616
3.4	0.8210	2.1418	3.4	0.8292	2.1336
3.8	0.8140	2.1213	3.5	0.8275	2.1281

Таблица 2

Зависимость  $g_1^k$ ,  $g_2^k$  и  $g_s^k$  от  $n_D$   
 $n_H = n_s = 2.2$ ,  $n_L = 1.4$ ,  $m_1 = 3$ ,  
 $m_2 = 4$

$n_D$	$g_2^k$	$g_s^k$
1.5	0.9024	1.8247
2.0	0.9316	1.8839
2.4	0.9727	1.9556
$g_1^k$	$g_s^k$	
2.5	0.9812	2.0302
3.0	0.9257	2.1228
3.5	0.9011	2.1680
4.0	0.8842	2.2012

В табл. 1 для двух веществ германия ( $n_D = 4$ ) и кремния ( $n_D = 3.5$ ) при  $m = 4$  и  $n_L = 1.4$  дана зависимость решения  $g_1^k$  и  $g_s^k$  от показателя преломления  $n_H$ . При возрастании  $n_H$  требуется больший сдвиг первого зеркала в коротковолновую область, но при этом мы будем иметь и большую асимметрию полосы прозрачности.

Полоса прозрачности системы с неравнослоинными зеркалами ( $m_1 = 3$ ,  $m_2 = 4$ ) иллюстрируется рис. 2. Здесь вновь выбрана германиевая под-

ложка, зеркала составлены из слоев с показателями преломления  $n_H = 2.2$ ,  $n_L = 1.4$ . Случай  $g_1 = g_2 = 1$  и  $g_s = 2$  дан кривой 1.

Полоса прозрачности симметрична, максимум прозрачности, согласно (16), равен 94.5%. Желание иметь  $T(\pi/2) = 1$  приводит нас в этом случае, например, к системе с  $g_1^* = 0.8842$  и  $g_s^* = 2.2012$  (кривая 2), полоса прозрачности которой немного уширена; уширения не будет, если взять  $g_s^* = 4.2012$ .

Пример зависимости толщин слоев сдвигаемых зеркал и толщины слоя  $s$  от показателя преломления подложки дан в табл. 2.

Пользуясь (13), устанавливаем, что для  $n_s < 2.46$  полная прозрачность в максимуме полосы будет достигнута при сдвиге второго зеркала, а для  $n_s > 2.46$  — при сдвиге первого зеркала. Этот факт и отражен в табл. 2. В этом случае отклонение толщин слоев сдвигаемого зеркала от  $\lambda/4$  меньше, чем в случае системы с равнослоистыми зеркалами, а отсюда и получаемые спектральные кривые полосы прозрачности более симметричны.

Рассмотренный в работе метод повышения прозрачности в максимуме полосы пропускания светофильтра типа Фабри—Перо требует специальной методики контроля при нанесении слоев. Описанию одной из возможных методик будет посвящена следующая работа.

В заключение авторы благодарят П. Г. Карда за внимание к работе и ряд существенных замечаний.

#### Литература

- [1] Г. В. Розенберг. Оптика тонкослойных покрытий. ГИФМЛ, М., 1958.
- [2] Ш. А. Фурман. Опт.-мех. промышл., № 7, 1968.
- [3] А. С. Валеев. Опт.-мех. промышл., № 7, 8, 1964.
- [4] П. Кард, Е. Несмелов, Г. Конюхов, В. Иванов. Изв. АН ЭССР, 18, 186, 1969.
- [5] Г. П. Конюхов, Е. А. Несмелов. Ж. прикл. спектр., 11, 468, 1969.
- [6] П. Г. Кард. Опт. и спектр., 14, 234, 1963.
- [7] Физика тонких пленок, под ред. Г. Хасса, т. 2, стр. 197. Изд. «Мир», М., 1967.
- [8] И. А. Боянжук. Транслятор ТА-1М., М., 1969.

Поступило в Редакцию 5 апреля 1971 г.